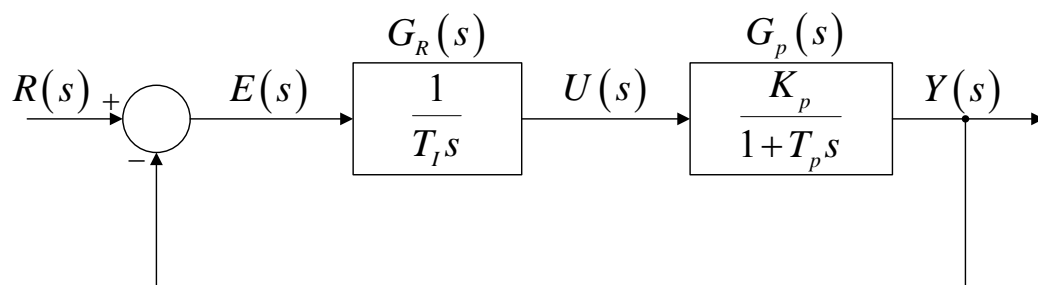


<p>GULIN MARKO 0036428227</p>	<p>Fakultet elektrotehnike i računarstva Zagreb Zavod za ARI</p>	<p>08. siječnja 2010.</p>
	<p><b>AUTOMATSKO UPRAVLJANJE</b></p>	
	<p>5. Domaća zadaća:  DISKRETNi SUSTAVI UPRAVLJANJA</p>	

**5-1. Zadatak:** Zadan je sustav upravljanja prikazan blokovskom shemom na slici 5.1.



**Slika 5.1.** Sustav upravljanja s analognim regulatorom

Parametri procesa prikazanog prijenosnom funkcijom  $G_p(s)$  su:  $K_p = 3$ ,  $T_p = 0.3$  [s]. Regulator je zadan prijenosnom funkcijom  $G_R(s)$ , s vremenskom konstantom  $T_I = 1.5$  [s].

**5-1.1.** Analitički odredite fazno osiguranje sustava i skicirajte Bodeov dijagram sustava korištenjem aproksimacije pravcima.

Prijenosna funkcija otvorenog kruga je

$$G_o(s) = \frac{1}{T_I s} \frac{K_p}{1 + T_p s} = \frac{20}{3} \frac{1}{s \left( s + \frac{10}{3} \right)} \quad (5-1)$$

Fazno osiguranje sustava definirano je sljedećom relacijom

$$\gamma = \pi + \varphi_o(\omega_c) \quad (5-2)$$

Presječnu frekvenciju izračunat ćemo iz uvjeta jediničnog pojačanja otvorenog kruga (u linearnom mjerilu) na toj frekvenciji

$$|G_o(\omega_c)| = 1 \quad (5-3)$$

Frekvencijska karakteristika otvorenog kruga upravljanja je

$$G_o(j\omega) = \frac{20}{3} \frac{1}{j\omega \left( \frac{10}{3} + j\omega \right)} \quad (5-4)$$

Amplitudno-frekvencijska karakteristika otvorenog kruga upravljanja (u linearnom mjerilu) na presječnoj frekvenciji je

$$|G_o(\omega_c)| = \frac{20}{3} \frac{1}{\omega_c \sqrt{\omega_c^2 + \frac{100}{9}}} = 1 \quad (5-5)$$

Presječna frekvencija odredi se rješavanjem jednačbe prikazane relacijom (5-5), te ona iznosi

$$\omega_c = 1.76706 [s^{-1}] \quad (5-6)$$

Fazno osiguranje sustava je

$$\gamma = \pi + \varphi_o(\omega_c) = 1.08334 [rad] = 62.07114^\circ \quad (5-7)$$

Frekvencijsku karakteristiku otvorenog kruga zapisujemo u obliku pogodnom za crtanje Bodeovog dijagrama

$$G_o(j\omega) = 2 \frac{1}{j\omega \left( +j \frac{\omega}{3.333} \right)} \quad (5-8)$$

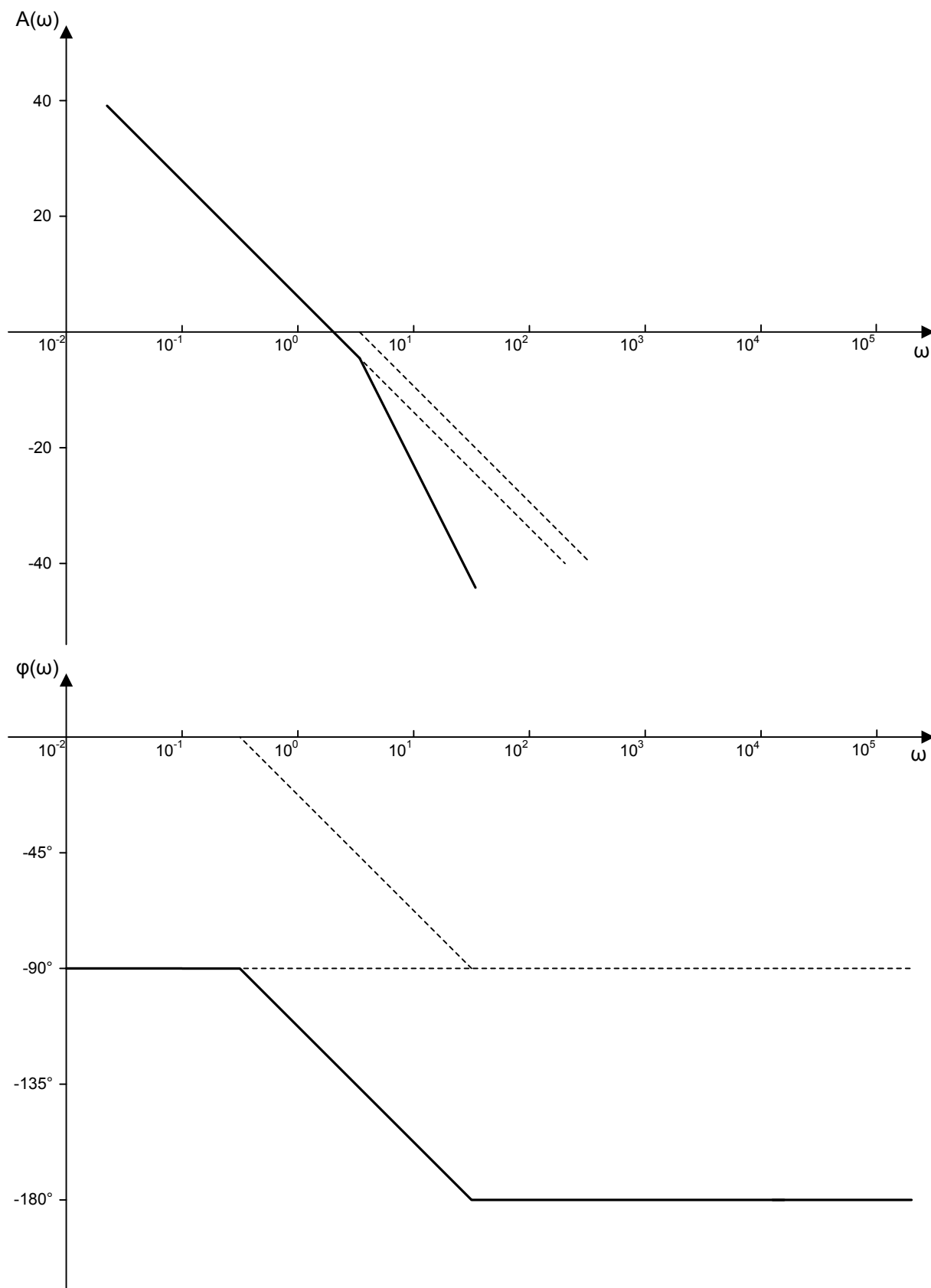
Amplitudno-frekvencijska karakteristika otvorenog kruga je

$$A_o(\omega) = 20 \log \frac{\omega}{2} - 20 \log \sqrt{1 + \left( \frac{\omega}{3.33} \right)^2} \quad (5-9)$$

Fazno-frekvencijska karakteristika otvorenog kruga je

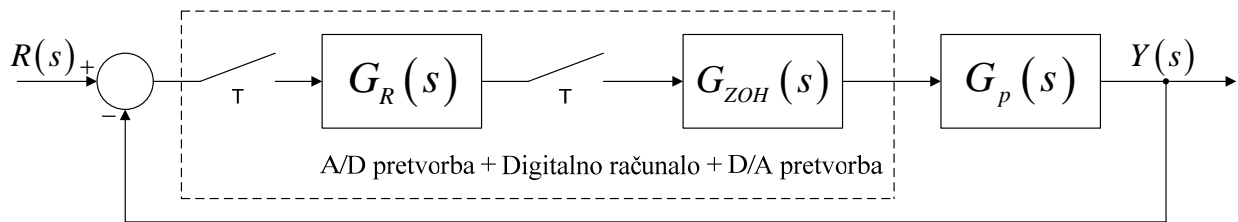
$$\varphi_o(\omega) = -\frac{\pi}{2} - \text{atan} \frac{\omega}{3.33} \quad (5-10)$$

Bodeov dijagram otvorenog kruga prikazan je na slici 5.2.



**Slika 5.2.** Bodeov dijagram otvorenog kruga zadanog sustava

**5-1.2.** Analogni regulator zamjenjuje se vremenski diskretnim regulatorom implementiranim u digitalnom računalu. Blokovskom shemom u vremenski kontinuiranoj domeni prikažite nastali vremenski diskretni sustav upravljanja. Na blokovskoj shemi naznačite blokove kojima se modeliraju A/D pretvornik, digitalno računalo te D/A pretvornik.



**Slika 5.3.** Diskretni sustav upravljanja u kontinuiranoj domeni

**5-1.3.** Odredite preporučeni raspon iznosa vremena uzorkovanja  $T$  ovog diskretnog sustava upravljanja korištenjem preporuke za određivanje vremena uzorkovanja na temelju frekvencijskih karakteristika otvorenog vremenski kontinuiranog regulacijskog kruga. Nakon toga odaberite jedno od ponuđenih vremena:

$$\text{I) } T = 1.5 \text{ [ms]}; \quad \text{II) } T = 15 \text{ [ms]}; \quad \text{III) } T = 150 \text{ [ms]}; \quad \text{IV) } T = 1500 \text{ [ms]}.$$

Interval dopuštenog perioda uzorkovanja određuje se prema sljedećoj relaciji

$$T = (0.17 \div 0.34) \frac{1}{\omega_c} \quad (5-11)$$

Uvrštavanjem presječne frekvencije sustava u izraz (5-11) dobije se sljedeći interval perioda uzorkovanja

$$96.20499 \leq T \leq 192.40999 \text{ [ms]} \quad (5-12)$$

Prema tome, period uzorkovanja kojim će se diskretizirati sustav iznosi

$$T = 150 \text{ [ms]} \quad (5-13)$$

**5-1.4.** Emulacijom kontinuiranog regulatora  $G_R(s)$  uz vrijeme uzorkovanja odabrano u zadatku **5-1.3.**, odredite diskretni regulator. Za sva tri slučaja odredite prijenosnu funkciju regulatora  $G_R(z)$ . Također odredite i pripadne rekurzivne algoritme regulatora. Pritom koristite:

**5-1.4.1.** Tustinovu relaciju.

Prema Tustinovoj relaciji, regulator se diskretizira prema sljedećem postupku

$$G_R(z) = G_R(s) \Big|_{s=\frac{2z-1}{Tz+1}} \quad (5-14)$$

Odgovarajući diskretni regulator je

$$G_R(z) = 0.05 \frac{z+1}{z-1} = 0.05 \frac{1+z^{-1}}{1-z^{-1}} \quad (5-15)$$

Pripadni rekurzivni algoritam regulatora je

$$u(k) = 0.05(e(k) + e(k-1)) + u(k-1) \quad (5-16)$$

### 5-1.4.2. Aproksimaciju derivacije Eulerovom unaprijednom diferencijom.

Prema Eulerovoj unaprijednoj diferenciji, regulator se diskretizira prema sljedećem postupku

$$G_R(z) = G_R(s) \Big|_{s=\frac{z-1}{T}} \quad (5-17)$$

Odgovarajući diskretni regulator je

$$G_R(z) = \frac{0.1}{z-1} = \frac{0.1z^{-1}}{1-z^{-1}} \quad (5-18)$$

Pripadni rekurzivni algoritam regulatora je

$$u(k) = 0.1e(k-1) + u(k-1) \quad (5-19)$$

### 5-1.4.3. Aproksimaciju derivacije Eulerovom unazadnom diferencijom.

Prema Eulerovoj unaprijednoj diferenciji, regulator se diskretizira prema sljedećem postupku

$$G_R(z) = G_R(s) \Big|_{s=\frac{z-1}{zT}} \quad (5-20)$$

Odgovarajući diskretni regulator je

$$G_R(z) = \frac{0.1z}{z-1} = \frac{0.1}{1-z^{-1}} \quad (5-21)$$

Pripadni rekurzivni algoritam regulatora je

$$u(k) = 0.1e(k) + u(k-1) \quad (5-22)$$

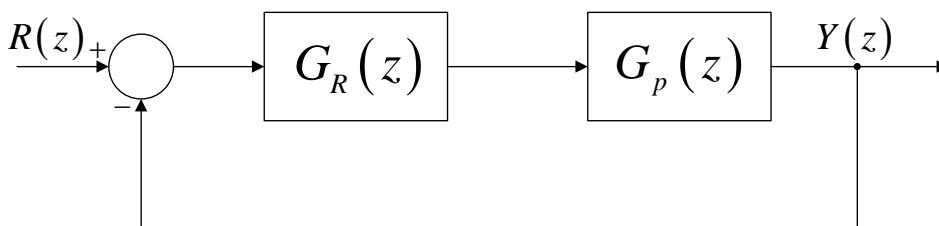
Koje je zajedničko obilježje svih triju dobivenih diskretnih regulatora?

Svi diskretni regulatori imaju pol u  $z_p = 1$  što je posljedica integratora u kontinuiranoj domeni, odnosno upravljački signal  $u(k)$  svakog od regulatora ovisi o upravljačkom signalu iz prethodnog koraka  $u(k-1)$ .

**5-1.5. Vremenski diskretni sustav upravljanja prikažite blokovskom shemom u vremenski diskretnoj domeni. Kako glasi prijenosna funkcija procesa  $G_p(z)$ ?**

Proces diskretiziramo ZOH diskretizacijom (očuvanje prijelazne funkcije) prema sljedećem pravilu

$$G_p(z) = (1-z^{-1})Z\left\{\frac{G_p(s)}{s}\right\} \quad (5-23)$$



**Slika 5.4.** Diskretni sustav upravljanja u diskretnoj domeni

Rastavljamo prijenosnu funkciju  $\frac{G_p(s)}{s}$  na parcijalne razlomke

$$\frac{G_p(s)}{s} = \frac{3}{s} - \frac{3}{s + \frac{10}{3}} \quad (5-24)$$

Nastavljamo sa ZOH diskretizacijom zadanog procesa

$$G_p(z) = \frac{z-1}{z} \left[ \frac{3z}{z-1} - \frac{3z}{z-0.60653} \right] \quad (5-25)$$

Konačno, odgovarajući diskretni proces je

$$G_p(z) = \frac{1.18041}{z-0.60653} = \frac{1.18041z^{-1}}{1-0.60653z^{-1}} \quad (5-26)$$

**5-1.6.** U zadacima nadalje razmatra se diskretni sustav upravljanja za slučaj regulatora  $G_R(z)$  dobivenog postupkom diskretizacije pod 5-1.4.1. (diskretizacija Tustinovom relacijom)! Ispitajte stabilnost dobivenog diskretnog sustava pomoću Juryjeva kriterija.

Prijenosna funkcija otvorenog regulacijskog kruga u diskretnoj domeni je

$$G_o(z) = 0.05 \frac{z+1}{z-1} \frac{1.18041}{z-0.60653} = \frac{0.05902z + 0.05902}{z^2 - 1.60653z + 0.60653} \quad (5-27)$$

Karakteristična jednadžba zatvorenog kruga je

$$f(z) = 1 + G_o(z) = z^2 - 1.54751z + 0.66555 \quad (5-28)$$

Prvi Juryjev uvjet je zadovoljen

$$f(1) = 0.11804 > 0, \quad (-1)^2 f(-1) = 3.21306 > 0 \quad (5-29)$$

Kako je prvi Juryjev kriterij zadovoljen, ostvaren je uvjet za formiranje Juryjeve tablice.

*Tablica 5.1. Juryjeva tablica stabilnosti*

Stabilnost	Redak	$z^0$	$z^1$	$z^2$
$ a_0  <  a_1 $	1	0.66555	-1.54751	1
	2	1	-1.54751	0.66555

Zadovoljen je i drugi uvjet stabilnosti, pa zaključujemo kako je sustav stabilan.

**5-1.7.** Odredite statičko pojačanje diskretnog sustava te regulacijsko odstupanje u ustaljenom stanju na skokovitu pobudu. Obrazložite dobivene rezultate.

Za određivanje statičkog pojačanja diskretnog sustava, potrebno je odrediti prijenosnu funkciju zatvorenog kruga

$$G(z) = \frac{G_o(z)}{1 + G_o(z)} = \frac{0.05902z + 0.05902}{z^2 - 1.54751z + 0.66555} \quad (5-30)$$

Statičko pojačanje diskretnog sustava je

$$\lim_{z \rightarrow 1} G(z) = 1 \quad (5-31)$$

Kako je statičko pojačanje sustava jednako 1, na jediničnu skokovitu pobudu regulacijsko odstupanje u ustaljenom stanju biti će jednako 0

$$e_{\infty} = \lim_{z \rightarrow 1} (1 - z^{-1})E(z) = 0 \quad (5-32)$$

Proces je diskretiziran ZOH diskretizacijom, pa je prema tome očuvana prijelazna funkcija, odnosno pojačanje sustava i regulacijsko odstupanje na skokovitu pobudu ostali su nepromijenjeni u odnosu na polazni kontinuirani sustav.

**5-1.8.** Odredite izraz za  $G_o(\Omega)$  diskretnog sustava upravljanja.

Za određivanje frekvencijske karakteristike otvorenog kruga, potrebno je provesti modificiranu bilinearnu transformaciju

$$G_o(\Omega) = G_o(z) \Big|_{z = \frac{1 + \Omega \frac{T}{2}}{1 - \Omega \frac{T}{2}}} \quad (5-33)$$

Nakon uvrštavanja supstitucije u prijenosnu funkciju otvorenog kruga

$$z = \frac{1 + \Omega \frac{T}{2}}{1 - \Omega \frac{T}{2}} = \frac{1 + 0.075\Omega}{1 - 0.075\Omega} \quad (5-34)$$

dobije se

$$G_o(\Omega) = 0.5 \frac{(13.33 - \Omega)}{\Omega(3.26718 + \Omega)} = \frac{\left(1 - \frac{\Omega}{13.33}\right)}{\frac{\Omega}{2} \left(1 + \frac{\Omega}{3.26718}\right)} \quad (5-35)$$

U nastavku je prikazan Matlab kôd za određivanje frekvencijske karakteristike diskretnog sustava primjenom bilinearne transformacije. ☺

```
>> syms z Omega
>> Go = 0.05902*(z+1)/(z^2-1.60653*z+0.60653);
>> Go = subs(Go, (1+0.075*Omega)/(1-0.075*Omega));
>> pretty(simplify(Go))
```

**5-1.9.** Skicirajte Bodeov dijagram  $G_o(\Omega)$  određen pod 5-1.8 korištenjem aproksimacije pravcima na istom grafu kao i na slici 5.2. Analitički odredite pripadnu presječnu frekvenciju i fazno osiguranje. Usporedite dobiveno fazno osiguranje s onim polaznog vremenski kontinuiranog sustava upravljanja određenog pod 5-1.1. i označite razliku u Bodeovom dijagramu.

Amplitudno-frekvencijska karakteristika diskretnog otvorenog regulacijskog kruga u linearnom mjerilu je

$$|G_o(\Omega)| = \frac{1}{2} \frac{\sqrt{13.33^2 + \Omega^2}}{\Omega \sqrt{3.26718^2 + \Omega^2}} \quad (5-36)$$

Amplitudno-frekvencijska karakteristika diskretnog otvorenog regulacijskog kruga u logaritamskom mjerilu je

$$A_o(\Omega) = 20 \log \sqrt{1 + \left(\frac{\Omega}{13.33}\right)^2} - 20 \log \frac{\Omega}{2} - 20 \log \sqrt{1 + \left(\frac{\Omega}{3.26718}\right)^2} \quad (5-37)$$

Fazno-frekvencijska karakteristika diskretnog otvorenog regulacijskog kruga je

$$\varphi_o(\Omega) = -\frac{\pi}{2} - \text{atan} \frac{\Omega}{13.33} - \text{atan} \frac{\Omega}{3.26718} \quad (5-38)$$

Presječnu frekvenciju izračunat ćemo iz uvjeta jediničnog pojačanja otvorenog kruga (u linearnom mjerilu) na toj frekvenciji

$$|G_o(\omega_c)| = \frac{1}{2} \frac{\sqrt{13.33^2 + \omega_c^2}}{\omega_c \sqrt{3.26718^2 + \omega_c^2}} \quad (5-39)$$

Presječna frekvencija diskretnog regulacijskog kruga iznosi

$$\omega_c = 1.80245 \text{ [s}^{-1}\text{]} \quad (5-40)$$

Fazno osiguranje diskretnog regulacijskog kruga iznosi

$$\gamma = \pi + \varphi_o(\omega_c) = 0.93225 \text{ [rad]} = 53.41449^\circ \quad (5-41)$$

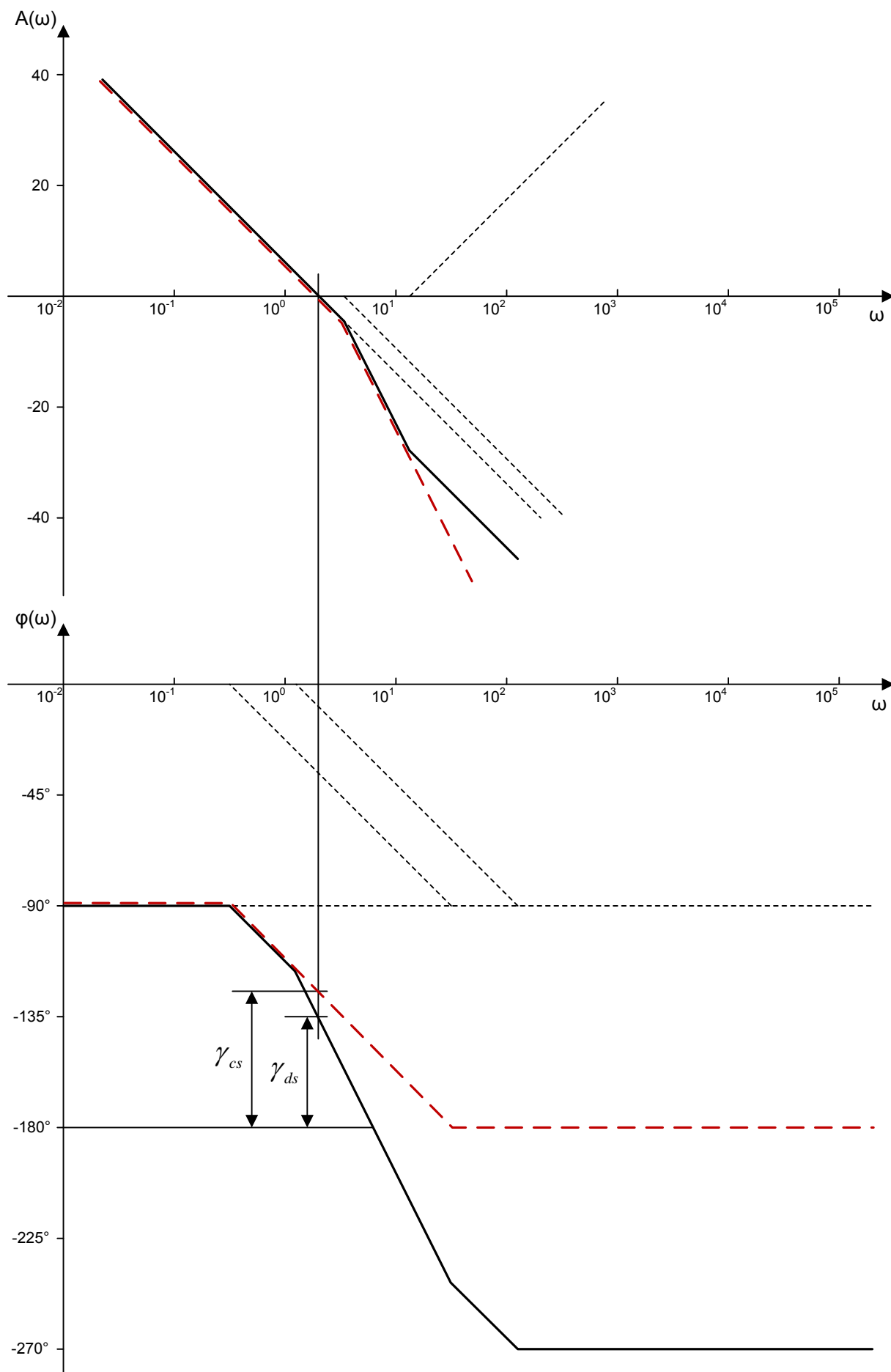
Je li relativna stabilnost poboljšana ili narušena uvođenjem digitalnog računala u regulacijski krug?

Uvođenje digitalnog računala imalo je utjecaja na fazno osiguranje sustava

$$\Delta\gamma = \gamma_{5-1.9.} - \gamma_{5-1.1.} = -8.65665^\circ \quad (5-42)$$

Primjećujemo kako je fazno osiguranje smanjeno u odnosu na polazni kontinuirani sustav. Zaključujemo kako digitalni regulatori narušavaju relativnu stabilnost sustava.





Slika 5.5. Bodeov dijagram diskretiziranog sustava